地球科学进展 ADVANCES IN EARTH SCIENCE

Vol.38 No.7 Jul. , 2023

王莉,刘晓岳,黄建平. 典型工业城市兰州市大气氧气的高精度观测研究[J]. 地球科学进展,2023,38(7):715-728. DOI:10.11867/j.issn.1001-8166.2023.035. [WANG Li, LIU Xiaoyue, HUANG Jianping. High-precision observation of atmospheric oxygen in a typical industrial city of Lanzhou[J]. Advances in Earth Science,2023,38(7):715-728. DOI:10.11867/j.issn.1001-8166.2023.035.]

典型工业城市兰州市大气氧气的 高精度观测研究^{*}

王 莉1,刘晓岳2,黄建平1,2*

(1.兰州大学西部生态安全省部共建协同创新中心,甘肃 兰州 730000;2.兰州大学半干旱 气候变化教育部重点实验室,兰州大学大气科学学院,甘肃 兰州 730000)

摘 要:人类活动对城市区域的空气含氧量产生了显著的影响,这种改变已经对区域范围内的大气氧平衡构成了威胁。但是城市大气 O_2 的相关研究仍然薄弱,无法对城市 O_2 变化机制做出系统评估。因此,在城市区域进行大气 O_2 的长期观测具有重要意义。详细介绍了兰州市在线大气氧观测平台的基本情况,该平台是国内首个大气 O_2 原位高精度连续观测平台。平台采用气相色谱仪—热导检测器(GC-TCD)来测量大气中 O_2 含量,并构建了一种基于XGBoost模型的数据订正方法。通过使用这种方法,成功地减小了大气 O_2 观测数据的系统误差,使得订正后的测量结果的误差明显减小至 $-0.68~\mu$ mol/mol。观测结果表明,大气中 O_2 呈现明显的季节性和日变化特征,且大气 O_2 与城市人类活动指标(NO_x)之间存在良好的对应关系。该平台能够在高背景下检测到大气 O_2 的微变化,为城市大气 O_2 相关研究提供关键的数据支持。由于碳氧循环紧密相关,大气 O_2 的长期观测可为有效制定因地制宜的"双碳"现实路径提供科学依据。

关 键 词:大气氧观测;兰州市;气相色谱仪;XGBoost模型订正;变化特征

中图分类号: P412 文献标志码:A 文章编号:1001-8166(2023)07-0715-14

1 引言

氧循环是连接自然界和人类之间的一个重要环节。一方面,氧作为光合作用和呼吸作用的关键元素,在维持生态系统平衡方面起着重要作用[13]。生物体需要大气中的适量 O2来进行新陈代谢和能量产生。另一方面,O2是化石燃料燃烧过程中消耗的重要成分。在过去几千年里,地球表面干燥空气中的 O2百分比一直保持在基本稳定的水平(20.95%)。近几十年,城市的快速扩张、工农业的发展、化石燃料的燃烧、汽车尾汽的排放以及其他

人为活动的加剧,改变了区域空气的含氧量,从而威胁到区域范围内的大气平衡[46]。例如,大气中CO₂浓度的迅速上升已引起人们的广泛关注^[68]。同时,大气中O₂不平衡的问题也逐渐被发现。1990—2008年,大气中的O₂含量下降了0.031 7%。Wei等^[9]定义了氧指数(耗氧和产氧的比值),并用氧指数评估了全球人口超过100万的大城市的氧失衡水平,发现所有的大城市正在消耗远高于其能产生的O₂量。Peng等^[3]指出珠江三角洲城市群较弱的O₂平衡能力与能源消耗密切相关。Huang等^[10]在全球

收稿日期:2023-03-01;修回日期:2023-05-31.

^{*}基金项目:国家自然科学基金项目"干旱半干旱地区气候变化及其水循环效应"(编号:41991231);甘肃省青年科技基金项目"兰州地区大气颗粒物及臭氧的时空分布特征及其重污染时段成因与模拟分析"(编号:21JR7RA528)资助.

作者简介:王莉(1989-),女,甘肃白银人,实验师,主要从事大气氧观测研究. E-mail:w_l@lzu.edu.cn

^{*}通信作者:黄建平(1962-),男,福建漳平人,教授,中国科学院院士,主要从事半干旱气候变化研究. E-mail:hjp@lzu.edu.cn

O₂收支长期变化的研究中指出,化石燃料燃烧是引起全球O₂含量下降的主要原因。Radkevich等¹¹¹对塔什干市高速公路附近空气中的O₂浓度进行了观测,研究发现在交通高峰期,即车流量较大的时候,高速公路附近的O₂含量会降低至对人体有害的水平(约为19.6%)。这项研究结果揭示了机动车数量的持续增加可能会导致城市大气中的O₂被消耗,以满足燃料燃烧过程的需求。目前,人类活动已对地球的生态系统产生了深远影响,这些影响在某种程度上也威胁着我们赖以生存的氧平衡。氧平衡的改变,可能会产生难以逆转的生态影响,甚至影响到人类生命健康。因此,迫切需要建立大气O₂含量的高精度监测系统,为人居环境的长远规划"双碳"路径的制定提供关键的数据支持。

虽然大气中的O。百分比较高,但其变化相对较 小。因此,测量大气O,要求仪器具备高度的精确性 和稳定性,以便能够准确捕捉细微的O,变化。目前 有多种仪器可供选择,例如干涉仪、顺磁氧分析仪、 燃料电池氧分析仪以及气相色谱仪等[12-16]。在全球 范围内, Bender、Battle和Keeling等研究团队已设立 了25个大气O₂定期观测站点[17],旨在探究全球大气 O,的长期趋势。这些观测通常是使用密封瓶进行 大气采样,然后在专门的实验室对空气样本进行分 析。密封瓶采样受制于实验条件,无法提供高时空 分辨率的 O,浓度观测资料。为进一步提高对大气 传输和混合过程的认识,需要对O,浓度进行连续观 测。近年来已有一些站点开始连续观测[13-14,18-20],但 大多数站点设在人烟稀少且远离人类活动的区域, 空间代表性有限,难以反映人类活动所引起的O,变 化。城市区域虽然仅占全球陆地面积的3.8%,却养 育了全球56%的人口,贡献了全球70%以上的能源 消耗[9,21-23]。因此,在人类活动高度集中的城市区域 开展高精度的大气O,观测具有重要意义。然而,全 球大气 O,城市观测站点数量非常有限,且主要集中 在国外城市,如东京[6]、莫斯科[24]和马萨诸塞州剑桥 市[25]。中国作为目前世界上人口最多的国家,近年 来由于城市化进程的加速和经济的快速发展导致 对能源和工业产品等的需求急剧增加,直接和间接 的耗氧量也显著增加。但目前国内还没有城市设 立高精度的大气 O,浓度的原位监测站点,无法定量 评估城市发展对区域氧失衡的作用关系,极大地限 制了相关研究的进展。

城市氧失衡受到区域自然、经济和社会等多种因素的制约与影响。西部河谷型城市作为受到自

然条件明显制约的一类特殊城市类型,其城市人居 环境对大气氧平衡非常敏感,为大气研究提供了一 个合适的尺度。兰州市(36.05°N,103.87°E)作为典 型的河谷型城市,是中国西北地区重要的工业基地 和综合交通枢纽,城市植被覆盖度低,固碳释氧的能 力有限[26-27]。地形屏障和逆温现象所引起的高频静 稳天气状态进一步加剧了城区的缺氧[28-30],对城市的 可持续发展形成制约。基于上述考虑,作者研究团 队在兰州市设立了国内首个城市大气氧含量的高精 度原位观测平台。当前大气氧观测平台采用的是气 相色谱一热导检测器(Gas Chromatograph Thermal Conductivity Detector, GC-TCD)技术测定大气氧含 量,该技术已经使用了20多年,可以较准确地量化 大气O₂的变率。这是国内首次在城市进行高精度 的大气 O,测量,观测数据将支持有关城市地区大气 氧失衡研究的未来发展,为城市发展规划的实施提 供参考依据。同时,可为明确城市人为活动对氧失 衡的影响及建设可持续发展型城市和人居环境提 供重要的理论支撑。

2 观测平台

由于大气O,变化信号(百万分之一)需要在较 高的大气 O, 背景下(210 000 μmol/mol)进行提取, 这对分析仪器的精度和稳定性提出了严格的要求, 特别是连续监测。为了确保数据的准确性,监测平 台建立了后期的数据订正方法,以扣除测量过程中 环境、样品温度以及其他大气成分影响导致的系统 误差。通过数据订正,能够更准确地衡量和解释大 气 O。含量的变化,提高数据的可靠性和可比性。 Ginzburg 等[24]提出不利的气象条件和大气污染物会 加速城市上空的大气O,含量下降。因此,将大气O, 与其他痕量污染物结合起来进行连续测量,更有利 于全面评估城市大气O。对人类活动与气候变化的 响应。综合考虑,观测平台的研究框架中还引入了 大气组分超级监测站的大气污染物和气象参数的 连续观测数据。一方面,大气温度、湿度和气压的 变化会造成仪器内部O,和N,的分馏,从而造成大气 O。的观测结果出现误差,而气象数据有助于建立大 气 O₂的订正模型;另一方面,大气 O₂受到城市自然 源和人为源的双重影响,存在日变化和季节变化特 征,结合大气污染物、气象参数以及大气O,的协同 变化特征,有助于分析城市大气O,变化的影响机 制。图1展示了当前大气氧观测平台从观测到后期 数据分析的研究框架。



图1 基于大气氧气观测平台的城市大气氧气变化的研究框架

Fig. 1 Research framework of urban atmospheric oxygen change based on atmospheric oxygen observation platform

综合考虑自然因素和人为因素的双重影响,平 台选择将大气氧观测的站点设在兰州大学本部观云 楼的顶楼,观测站的样品采气口方向为兰州市城关 区天水南路。城关区是兰州市人口最多的城区,且 天水南路路段为双向十车道,附近的单位有兰州火 车站、兰州大学、中国科学院兰州分院和甘肃省图书 馆等。由于毗邻火车站,路段交通发达,公交线路密 集,受人为活动影响比较明显。此外,兰州大学本部 校内的大气组分超级监测站(Lanzhou Atmospheric Components Monitoring Superstation, LACMS)设在 大学生活动中心顶楼,离大气O,观测站约300 m,其 拥有气体分析仪、挥发性有机物(Volatile Organic Compounds, VOCs)在线监测系统、OC/EC分析仪、 大气颗粒物监测仪、粒径谱仪、在线离子色谱仪、 大气颗粒物重金属分析仪、环境多参数激光雷达 以及气象仪等多种在线仪器。大气组分超级监测 站的连续观测数据将为建立大气O。与大气污染物 间的反应关系模型提供技术和数据支撑,进一步 量化主要人类活动包括化石燃料燃烧和人类呼吸 消耗O,的通量。观测点如图2所示。

3 观测方法

3.1 气相色谱观测

空气中的氧摩尔分数 $X_{0,}$,定义为氧分子的数量 $M_{0,}$ 除以空气中的分子总数,如公式(1)和公式(2) 所示:

$$X_{o,}[\text{mol/mol}] = M_{o,}/M_{\text{air}} \tag{1}$$

$$M_{\text{nir}} = M_{\text{O}_2} + M_{\text{N}_2} + M_{\text{CO}_2} + M_{\text{Ar}} + M_{\text{其他粮量气体}}$$
 (2)
其中,公式(2)中 M_{N_2} , M_{CO_2} , M_{Ar} 和 $M_{\text{其他粮量气体}}$ 分别表示 N_2 、 CO_2 、 Ar 以及其他粮量气体的分子数量。可见 O_2 的摩尔分数对其他空气成分的变化也很敏感,稀释

的摩尔分数对其他空气成分的变化也很敏感,稀释效应是不可忽略的,例如, $1 \mu mol/mol CO_2$ 分子量的变化会导致 $0.21 \mu mol/mol$ 的 O_2 摩尔分数的变化。因此, O_2 的变化通常表示为 O_2/N_2 值($=M_{O_2}/M_{N_2}$)的变化, O_2/N_2 值随 O_2 或 N_2 分子数量的变化而变化。由于大气中 N_2 的变化比 O_2 的变化小得多,可忽略不计,在大多数情况下, O_2/N_2 值的变化可以被认为是由 O_2 造成的[27]。 O_2/N_3 值通常以"per meg"为单位,公式(3)

$$\Delta (O_2/N_2) (per meg) = \frac{(O_2/N_2)_{sam} - (O_2/N_2)_{ref}}{(O_2/N_2)_{ref}} \times 10^6 \quad (3)$$

中(O₂/N₂)_{sam}表示样品气体,(O₂/N₂)_{ref}表示参考气体。

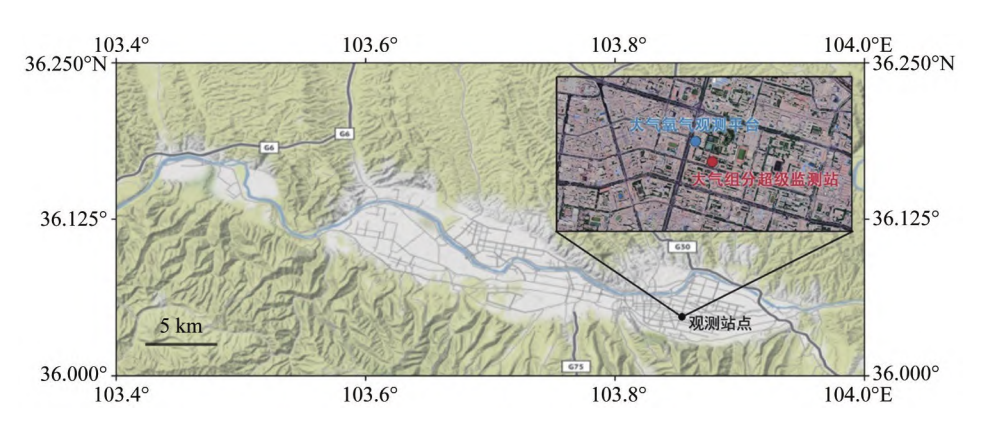


图 2 大气氧气观测站点图

Fig. 2 Map of atmospheric oxygen observation sites

大气氧观测平台采用配备热导检测器 (Thermal Conductivity Detector, TCD)的气相色谱仪(Gas Chromatography, GC)来测量大气 O_2/N_2 值,TCD是通过测量气体样品传导热量的变化来监测样品中的组分含量,通常对除载气以外的所有物质都敏感,并具有广泛的线性范围。与干涉仪或质谱仪相比,GC/TCD操作简单,成本相对较低。测量的结果通过公式(1)进行转换来研究大气 O_2 浓度的变化。1 mol干燥空气中加入或去除 1 μ mol的 O_2 会造成4.8 per meg 的 O_2/N_2 值的变化,即4.8 per meg 约等于 1 μ mol/mol 的大气 O_2 浓度的变化^[31],转换后的大气 O_3 浓度的变化用 ΔO_3 表示。

3.2 测量仪器

图3显示了安捷伦7890B气相色谱仪测量大气O₂/N₂值的原理图。安捷伦7890B气相色谱系统是目前世界上应用较广泛的系统,具有精准的温度控制和进样系统,以及高性能电子气路控制模块,可获得最佳保留时间和峰面积的重现性。采用氦气作为载气。配备的TCD检测器与普通类型的TCD不同,这种TCD只包含1个电热灯丝,无需单独的参比气,也无需手动调节电位计,即可提供漂移极小的稳定基线。选用材质为镍的1mL样品环,样品回路和色谱柱通过气动阀连接。该测量系统具有配备3个检测器的2个独立的通道,能够更快地获取结果。单独的通道提高了灵活性,阀切换用时更

短,方法建立更为容易。第一个通道采用2个配备 TCD 和火焰离子化检测器 (Flame Ionization Detector, FID)的阀,热导检测器与甲烷转化器 (CATalytic converter, CAT)—火焰离子化检测器串 联。该通道的灵活性很好,色谱柱2为内装5A分子 筛的不锈钢填充柱,可以进行O,和N,的分析。色谱 柱温度保持在恒定的35℃。此外,该系统可以根据 需要灵活运用,将色谱柱2替换为HayeSep Q的填 充柱,该通道可以检测CO,和CH。另一个配备2个 阀的微池电子捕获检测器(Electron Capture Detector, ECD)通道专用于检测 N₂O。在 GC 测量 系统中,没有使用预柱来防止滞留时间较长的成 分,如CH4、CO,和H,O进入分离柱,虽然前柱(色谱 柱1和2)会将较重的组分(主要为水)反吹至放空 口,但是分离柱在测量过程中还是会被逐渐污染, 需要定期进行烘烤。

3.3 样品分析

大气采样器(TQC-1500Z)用于空气样本的采集。采样器主要由隔膜泵、调节阀、缓冲器、流量计和中央处理器组成,采用芯片机作电路计时及电源控制,可与多种吸收管配套使用。采样器的进气端直接连接室外空气,出气端与气相色谱仪的进样口连接,设定流速为0.3 L/min。由7890B运行的序列程序依次操作样品的运行,以定时重复GC分析,实现大气O2的在线连续测量。7890B气相色谱系统

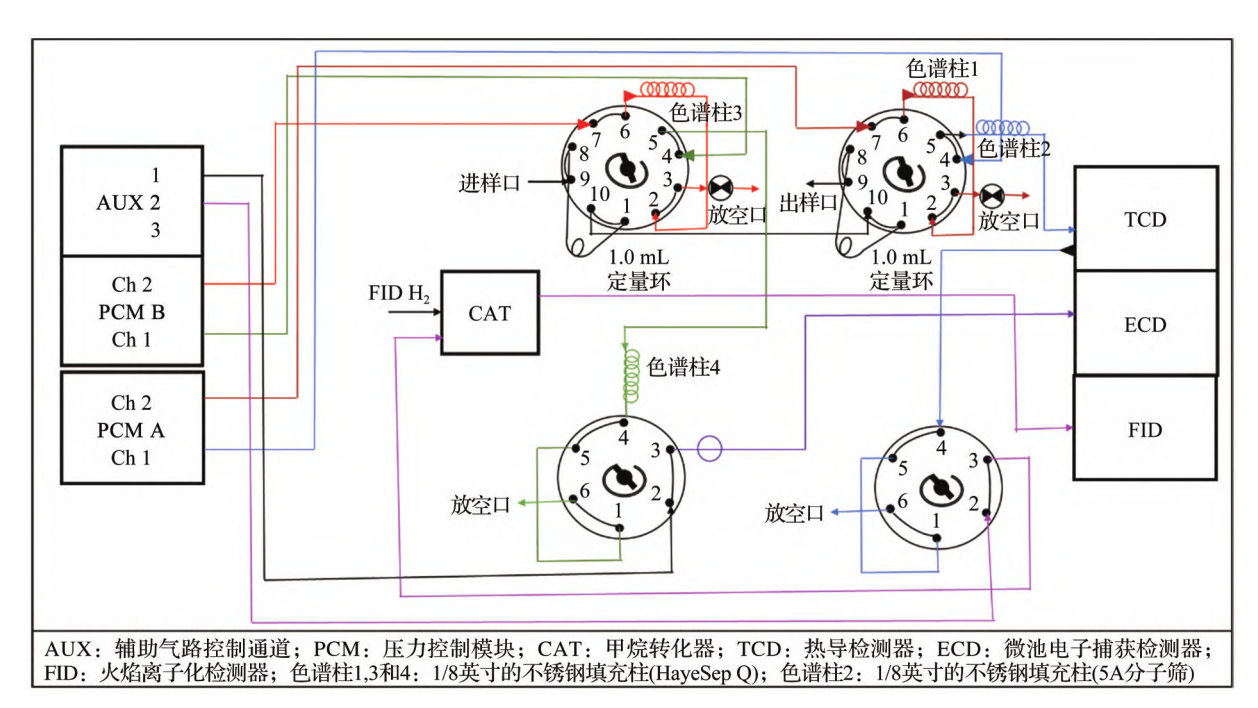


图3 安捷伦7890B气相色谱仪用于大气 O,/N,值测量系统的原理图

Fig. 3 Schematic diagram of the Agilent 7890B gas chromatograph for atmospheric O₂/N, measurement system

的积分器在获取 TCD 信号的同时计算 O_2 和 N_2 的气相色谱峰的高度和面积。虽然峰高和面积通常都可用来计算物质的浓度,但由于峰高响应的线性度极差,因此采用面积来计算 O_2 / N_2 值。 O_2 峰和 N_2 峰的特征是峰锋锐利,尾长,形状类似于高斯曲线(图 4)。此外,需要每隔一段时间交替测量参比气和样品气体的 O_2 / N_2 值。参比气是根据空气中 O_2 和 N_2 的比例订制的高纯混合气体。参比气的注入和测定方法与样品气体相同。此外,可通过重复交替分析样品和参考气体,在统计学上提高测量精度。当前仪器重复测量大气 O_2 的标准误差为±3.195 μ mol/mol。

4 数据订正和分析

大气温度、湿度和气压的变化会使仪器内部 O_2 和 N_2 发生分馏(fractionation),从而造成 O_2/N_2 值的观测误差 [12],进一步影响大气 O_2 浓度的变化 (ΔO_2) 结果。未经校准的 ΔO_2 数据 $(S_{\Delta O_2})$,是由多种信号叠加而成的,包括仪器本身对大气 O_2/N_2 值变化的响应 (y),仪器对于温度、湿度和气压等其他非相关要素 (X)的响应 $[\beta(X)]$,以及随机误差 (ε) 。这些因素对于 ΔO_2 ,原始观测数据的复合影响,可用下式表达:

$$S_{\Delta O_{\lambda}} = y + \beta(X) + \varepsilon \tag{4}$$

为了准确构建适用于平台的大气氧观测数据订正方法,平台短期租用了美国 Picarro 公司的G2207氧气高精度气体浓度分析仪进行比较。Picarro G2207氧气高精度气体浓度分析仪采用光腔 衰 荡 光 谱 (Cavity Ring-Down Spectroscopy, CRDS)技术测量大气 O₂浓度,能够测量水汽浓度来补偿和校正稀释效应,以干气摩尔分数(μmol/mol)

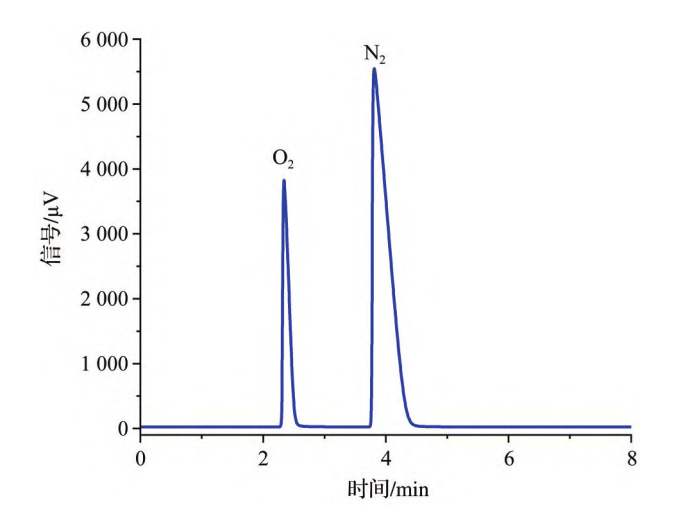


图 4 空气样本色谱图 Fig. 4 Air sample chromatogram

来显示 O_2 浓度^[32]。分析仪的短期精度可达到1分钟 O_2 浓度的标准误差小于 $1\mu mol/mol$ 。尽管该仪器测量大气 O_2 浓度时具有高精度和低漂移的优势,但是由于价格等因素,目前使用不是很广泛。

图 5(a)给出了 2021 年 12 月 $1\sim$ 9 日 GC 数据与 Picarro 数据在同期观测的对比。GC 数据与 Picarro 数据在观测趋势上有较好的一致性,但 GC 数据较 Picarro 数据系统性偏低。考虑到 Picarro 仪器精度 更高 [32],观测误差更小,因此,本文以 Picarro 数据作为 O_2 观测的基准值 (y),对 GC 原始未经校准的 ΔO_2 数据 $(S_{\Delta O_2})$ 进行订正和插补。图 $5(b)\sim$ 图 5(d) 为观测同期的气压 (kPa)、气温($^{\circ}$ C)、相对湿度 $(^{\circ}$ C)、能见度 (km)、风速 (m/s) 和风向 $(^{\circ}$ C) 的时间趋势图。从气象要素的趋势变化图中可以看出,气温和气压与 ΔO_2 具有明显的相关性。大气压升高时, O_2 浓度升高,与 ΔO_2 呈显著正相关,相关系数达 0.41;气温升高时, ΔO_2 下降,相关系数为 -0.43。

4.1 气相观测数据的订正

根据公式(4),GC数据与Picarro数据的差异主要由 $\beta(X)$ 引起。本文选取同期气象要素X(气温、气压、相对湿度、能见度、风向、风速),以12月1~4日数据作为训练集,基于 XGBoost (eXtreme Gradient Boosting)算法建立 $\beta(X)$,采用 sklearn 模块中的GridSearchCV算法用于确定参数。将训练好的XGBoost模型应用于12月6~9日的GC观测数据中,对XGBoost模型的订正效果进行评估。由于观测序列中12月4日14时至12月6日14时的GC数据因故缺测,因此,研究采用XGBoost算法建立了气象因子(气温、气压、相对湿度、能见度、风向、风速)与Picarro实测数据之间的关系,以12月1~4日数据作为训练集,插补观测序列中的缺测值,并与Picarro原始数据进行对比。

纳入数据订正与插补模型中的几个气象要素中,较为重要的是气压和气温,风向、风速和湿度对O₂浓度的影响较小(图 6)。此外,数据的时刻也对O₂浓度有较大的影响,证明O₂浓度有明显的日变化特征^[23]。与N₂相比,O₂的密度更大,从而更倾向于在气温较低、气压更高、湿度较大的地方聚集^[33]。因此,当外界气象条件发生变化时,即使测量仪器的精度较高,O₂和N₂在仪器内部的分馏作用还是会导致空气组分分布不均,影响最终测量结果的准确性。建立的订正和插补模型中,气压和气温的特征重要性较高,表明气温和气压对于分馏效应的影响是最大的^[34],证明模型可针对实际影响因子提供准

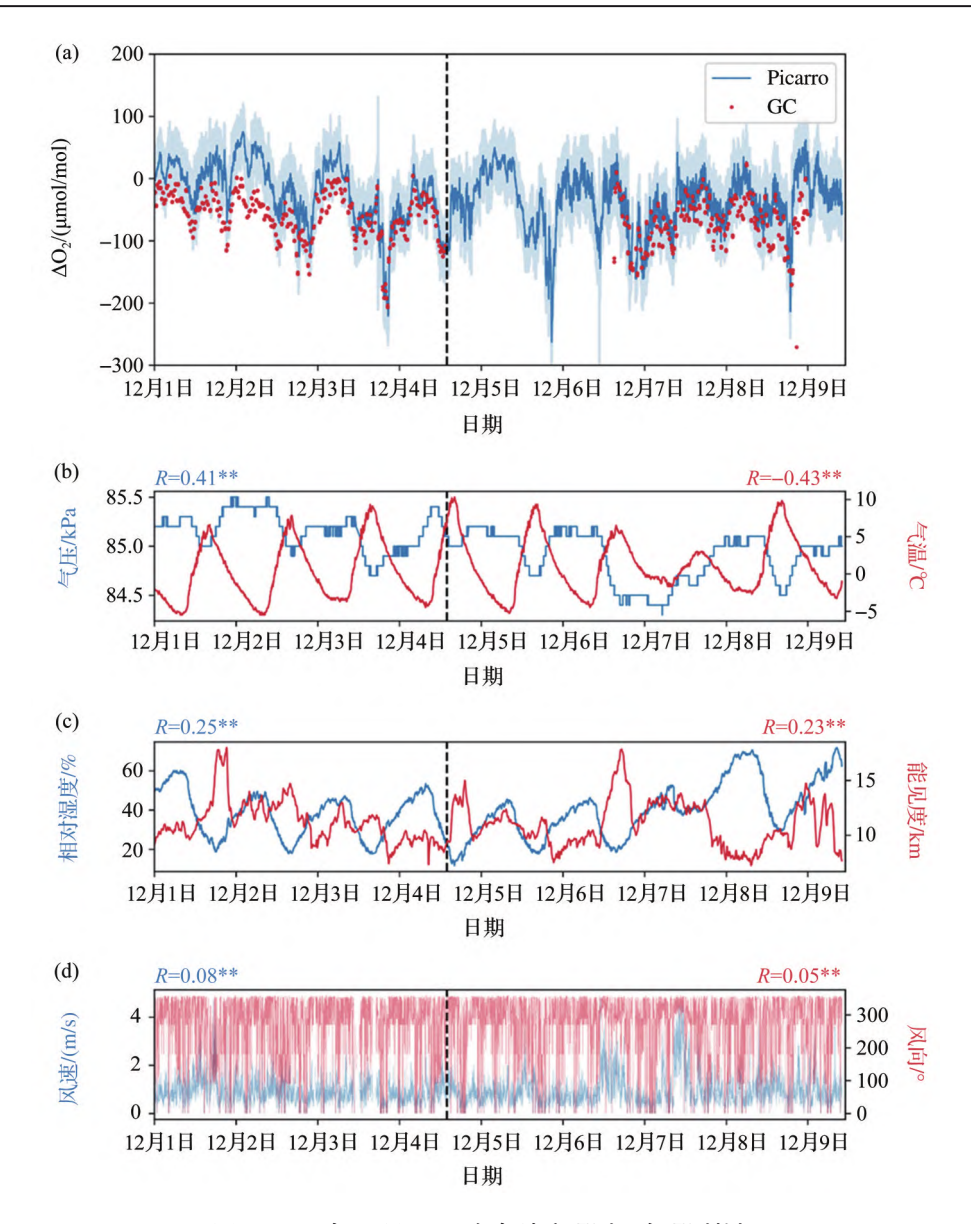


图 5 2021年12月1~9日氧气浓度观测平台观测数据

Fig. 5 Oxygen concentration observation platform observation data from December 1 to December 9, 2021

(a) Picarro 与GC观测数据的对比;(b)气压与气温;(c)相对湿度与能见度;(d)风速与风向;12月4日14时至12月6日14时和

12月9日0时至11时的GC数据因故缺测;**表示在0.01级别相关性显著

(a) Comparison of Picarro and GC observation data; (b) Pressure and temperature; (c) Relative humidity and visibility; (d) Wind speed and wind direction. 14:00 on December 4 to 14:00 on December 6, and GC data from 00:00 to 11:00 on December 9 were not measured due to reasons;** indicating a significant correlation at the 0.01 level

确的大气 O_2 观测误差的订正值,以此显著提高观测结果应用的普适性。

考虑到气象要素测量过程中可能会有多种因素导致数据集中包含一些未知的偏差,因此,本文进一步分析了气象要素对订正结果可能带来的不确定性。基于Brohan等[35]、Folland等[36]和李庆祥等[37]提出的不确定性估计方法来进行分析。对台站气象要素的不确定性可以进行细分,假定台站小时平均气温 T_{actual} 、气压 P_{actual} 、相对湿度 H_{actual} 和能见度 V_{actual} :

$$T_{\text{actual}} = T_{\text{ob}} + \varepsilon_{\text{ob}} + \varepsilon_{\text{RC}} \tag{5}$$

$$P_{\text{actual}} = P_{\text{ob}} + \varepsilon_{\text{ob}} + \varepsilon_{\text{RC}} \tag{6}$$

$$H_{\text{actual}} = H_{\text{ob}} + \varepsilon_{\text{ob}} + \varepsilon_{\text{RC}} \tag{7}$$

$$V_{\text{actual}} = V_{\text{ob}} + \varepsilon_{\text{ob}} + \varepsilon_{\text{RC}} \tag{8}$$

式中: T_{ob} 、 P_{ob} 、 H_{ob} 和 V_{ob} 为实际报告值, ε_{ob} 为观测误差, ε_{RC} 为计算不准确或缺报导致的不确定性。观测误差导致的不确定性转化为对 ε_{ob} 和 ε_{RC} 的估计,但 ε_{RC} 的不确定性主要来源于数字录入等过程造成的误差,可能出现一些非常大的奇异值,一般在台站

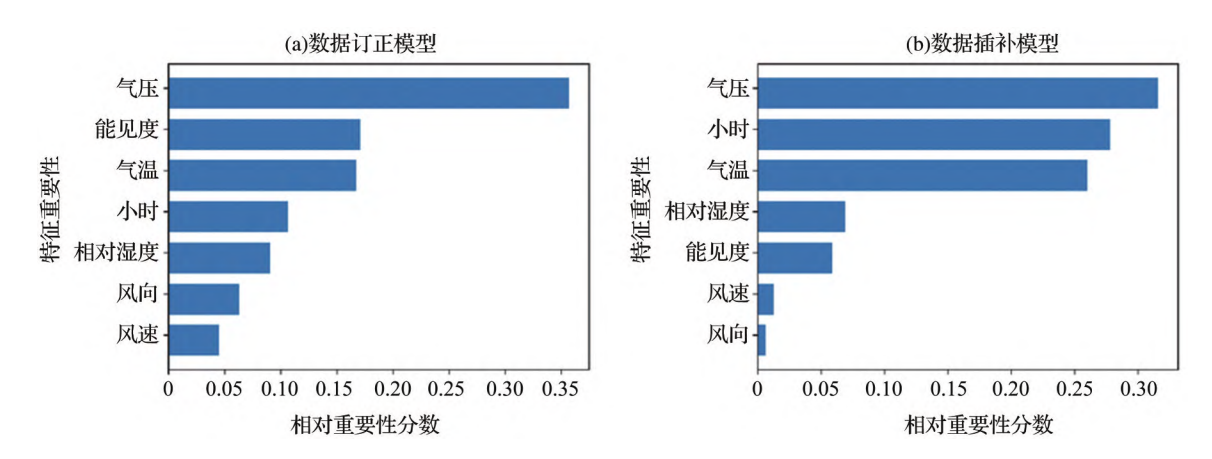


图 6 基于 XGBoost 模型建立的数据订正模型(a)和数据插补模型(b)的特征重要性

Fig. 6 Feature importance of data correction model (a) and data interpolation model (b) built based on XGBoost model

进行质量控制和均一性检查的过程中会进行剔除 处理,因此,可以忽略不计。这样,观测误差导致的 不确定性只需转化为对 ε_{ob} 的估计。本研究所采用 的是FWS500微型气象五参数传感器,该仪器测量 气温的随机误差约为0.2 ℃,仪器的时间分辨率为 1 min,研究中所采用的小时数据为分钟数据的平均 值,这样,由观测误差带来的不确定性最大值为 $0.2/\sqrt{60}$ =0.03 ℃。相应的,该仪器测量压力的随机 误差约为0.03 kPa,观测误差带来的不确定性最大 值为 $0.03/\sqrt{60}=0.004$ kPa。测量湿度的随机误差约 为2%,观测误差带来的不确定性最大值为 $0.02/\sqrt{60}=0.3\%$ 。本文采用 DNQ2 能见度仪测量能 见度,仪器的时间分辨率为1 min,研究中所采用的 能见度小时数据也是分钟数据的平均值,在10 m~ 10 km的测量范围内,其随机误差约为10%,观测误 差带来的不确定性最大值为 $0.1/\sqrt{60}=1\%$,而在 $10\sim$ 50 km的测量范围内,其随机误差约为20%,观测误 差带来的不确定性最大值为 $0.2/\sqrt{60}=3\%$ 。

4.2 气相观测数据订正后的结果评估

图7给出了测试集数据订正前后的对比。图7 (a)和图7(b)为订正前后的GC观测数据,订正前GC观测数据系统性偏低-29.6 µmol/mol,订正后系统误差明显缩小(-0.68 µmol/mol)。图7(c)给出了插补数据在测试集中的表现,相关系数可达0.68,平均误差为0.86 µmol/mol。订正和插补模型在整个测试集上的相关系数达0.69[图7(d)],平均偏差为-0.56 µmol/mol。

图 7(e)给出的是 12月4日14时至12月9日11时订正插补模型的完整序列,可以明显看到订正插补后的序列能够有效捕捉到 O,浓度的变化特征,插

补方法仅在12月5日夜间的极端值上出现偏差。

基于上述订正方法,本文对兰州市2020年7月至2021年12月的O₂浓度数据进行了订正和插补,订正后的结果如图8(a)所示。兰州市O₂浓度存在明显的季节变化特征[图8(a)]:夏季高、冬季低。为进一步体现O₂浓度变化的季节性周期,利用下述经验函数对兰州市O₂日平均浓度进行拟合^[34]:

 $X(t) = a_1 + a_2\cos(\omega t) + a_3\sin(\omega t)$ (9) 式中:X为 O_2 浓度,t 为观测记录在一年中的天数, $\omega = 2\pi/365$, a_1 代表 O_2 浓度的平均值, a_2 和 a_3 均代表年内季节变化的振幅大小。2020—2021年的观测序列结果显示, O_2 浓度于2020年8月9日达到一年中的最高值,随后下降,于2021年2月8日下降到最低值后开始回升。

O₂浓度的日变化特征结果显示[图 8(c)],一天中O₂浓度的最低值通常出现在10:00前后,随后逐步上升,傍晚至夜间O₂浓度再次下滑。兰州市O₂浓度的季节变化、日变化特征与Ishidoya等^[6]在日本东京的测量结果较为一致。

大气 O₂观测站点位于兰州市城关区主干道附近,机动车是主要的耗氧排污源。因此该站点观测到的 O₂浓度变化能在一定程度上反映出局地 O₂消耗和污染排放过程。研究选取了 NO₂作为人为活动指标,通过 NO₂与 ΔO₂的协同变化特征来进一步分析人为活动对大气 O₂变化特征的影响。 NO₂是化石燃料燃烧的典型指标,兰州市 NO₂约 96%来自化石燃料燃烧源排放,包括交通、电力和工业,剩下约0.4%的排放来自其他生物源[38]。 Shaw 等[39]提出,在城市中心,由于超过95%的 NO₂排放来自人为源,因此 NO₂浓度可作为可持续性指标监测人为排放源对当地空气质量的影响。如图 8 所示, NO₂的季节

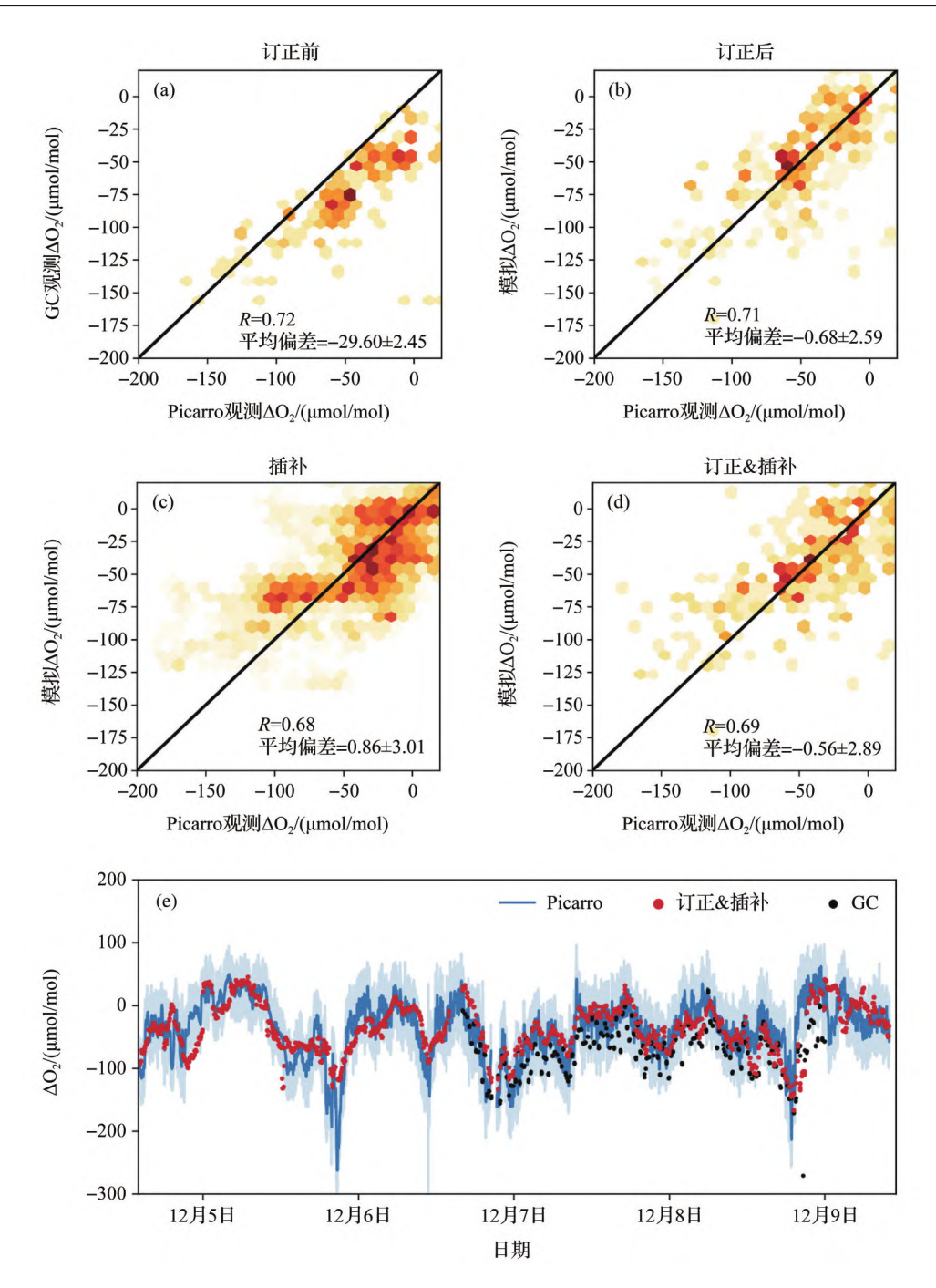


图 7 基于XGBoost模型建立的数据订正模型和数据插补模型在测试集上的效果评估

Fig. 7 Evaluation of the effect of the data revision model and interpolation model based on XGBoost model on the test set

变化与O₂成明显的反相关[图8(b)],受冬季大气扩散效应和对流减弱的影响,污染物在市中心污染源附近聚集,同时消耗的O₂也难以在短时间内得到城市外部新鲜空气的补充,造成O₂浓度下降、污染物浓度升高,夏季则相反^[23]。此外,自然背景中夏季光合作用较强,也能补充一定的O₂,而冬季光合作用受到抑制,产生的O₂有限,一定程度上也解释了兰州市冬季O₂浓度偏低的现象^[3]。NO₂在一年中的

峰值和低谷对应的时间较 O_2 提前约1个月,一方面,与 O_2 相比, NO_x 在大气中的寿命很短,约为几个小时^[40];另一方面, NO_x 很容易在大气中与挥发性有机化合物发生耗氧反应^[41]。在日变化尺度上,兰州市 O_2 浓度在一天中2次下降的时间也与 NO_x 浓度上升有较好的对应,这与Radkevich等^[11]观测的塔什干市高速公路附近空气中的 O_2 浓度的变化特征相一致,进一步揭示了大气中 O_2 浓度的下降与人为活动

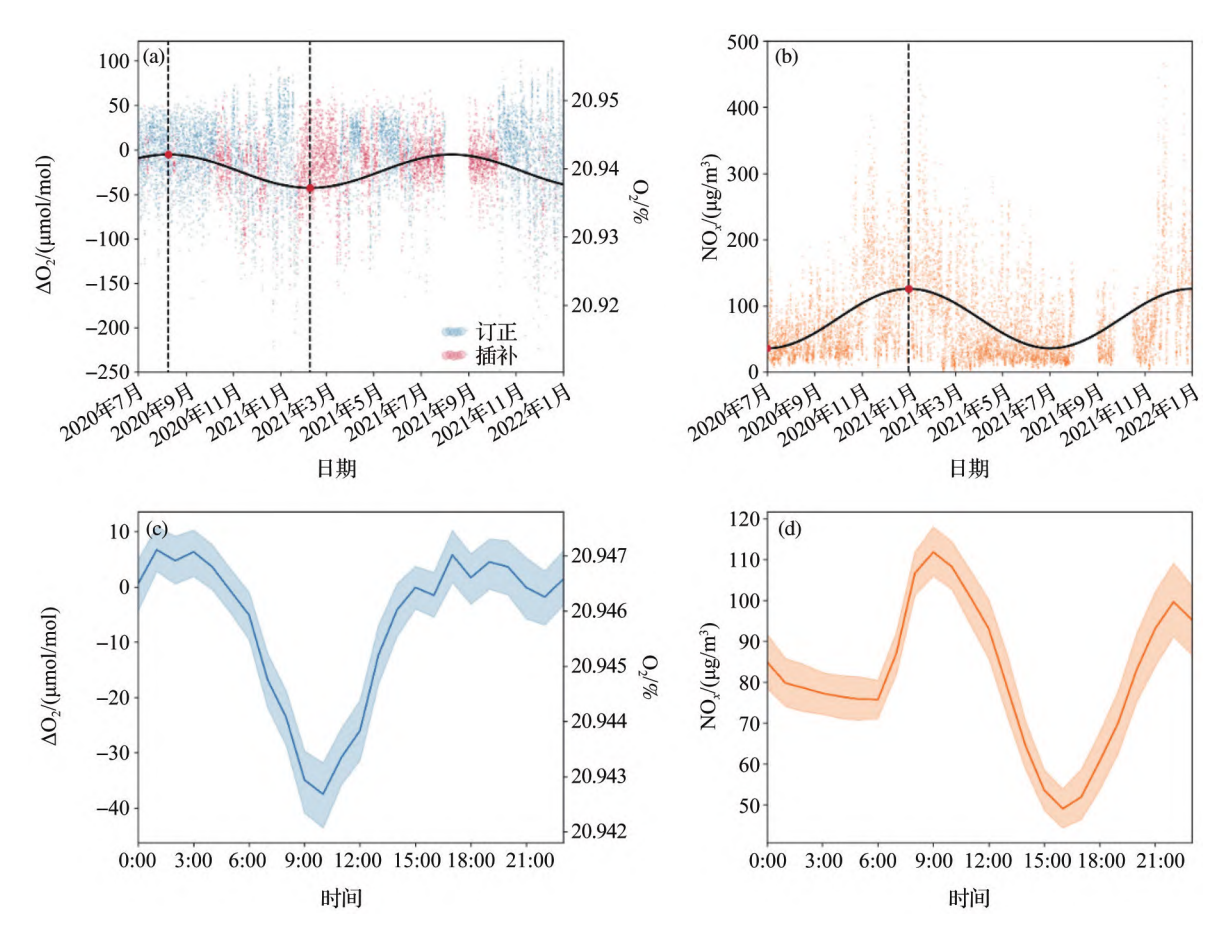


图8 兰州市氧气浓度的变化特征

Fig. 8 Characteristics of the variation of oxygen concentration in Lanzhou City

(a) 2020年7月1日至2021年12月31日 O_2 浓度变化;(b) 2020年7月1日至2021年12月31日 NO_x 浓度变化;(c) O_2 浓度的平均日循环特征;(d) NO_x 浓度的平均日循环特征;(a) 和(b) 中黑线表示拟合后的季节变化信号,红点表示一年中最高值、最低值出现的时间和浓度;(c) 和(d) 中阴影表示 95% 置信区间

(a) Variation of oxygen concentration from July 1, 2020 to December 31, 2021; (b) Variation of NO_x concentration from July 1, 2020 to December 31, 2021; (c) Average daily cycle characteristics of oxygen concentration; (d) Average daily cycle characteristics of NO_x concentration. Black lines in (a) and (b) indicate the seasonal variation signals after fitting, red dots indicate the time and concentration of the highest and lowest values occurring in a year. The shading in (c) and (d) indicates the 95% confidence interval

的影响存在一定关系。

从水平方向上也就是局地(城市内部和边缘) 之间的氧交换来说,氧气浓度的变化不仅受人为因 素影响,气象条件、城区内部及附近的植被均能影 响城市内部大气O₂的变化。利用订正模型和实际 气象观测资料,给出了O₂浓度对主要气象要素(气 温、气压、能见度、相对湿度)的部分依赖图(图9)。 模型显示,单一因素条件下,即控制其他变量不变 时,气压升高、能见度的改善以及湿度增加均能在 一定程度上提高O₂浓度。相对湿度比一天中最低 值高40%~60%时,O₂浓度会有所升高。为了进一 步探索气象要素对O₂浓度的协同影响,研究采用二 元相对依赖图来进一步探究气象要素协同作用影 响下大气 O₂的响应。图 9(e)给出的气压与气温二维部分依赖图显示,O₂浓度升高主要出现在相对气温较高、气压较低的情景下;而 O₂浓度下降则主要出现在相对气温升高、气压升高的情景下。当局地气温升高时,空气密度减小、气压降低,大气中对流增强,大气扩散条件好,城市内部消耗的 O₂能够得到及时补充。而在气压升高的情况下,空气密度增大,下沉运动不利于外界 O₂的补充,从而导致 O₂浓度下降。相对湿度与气温也能对 O₂浓度变化产生一定的协同效应[图 9(f)]:气温升高、湿度增加对应 O₂浓度升高;气温下降、湿度降低则对应 O₂浓度下降。与图 8 中季节特征的分析结果相对应。值得注意的是,我们也发现在不同条件下,大气 O₂对同

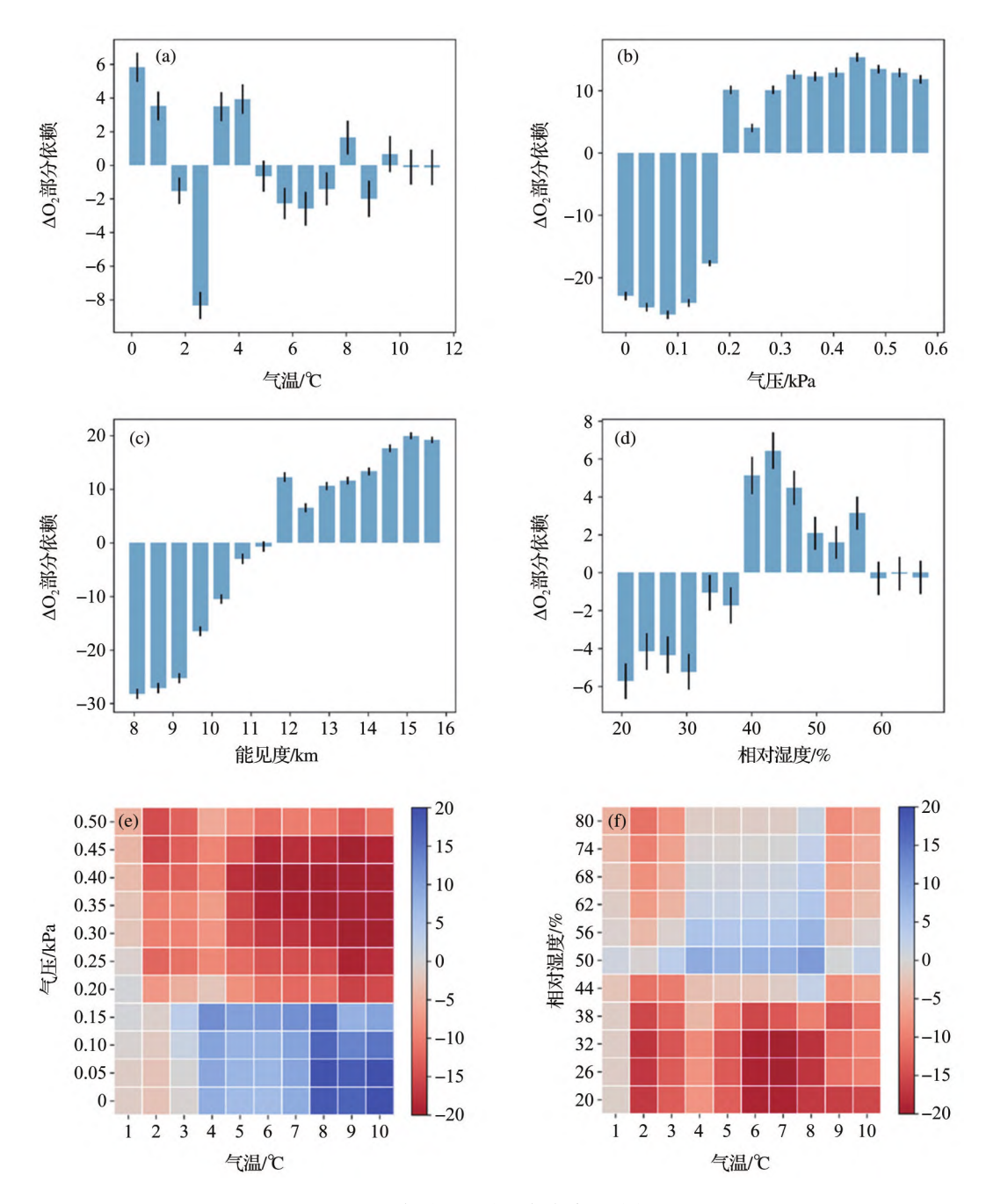


图9 兰州市氧气浓度与主要气象参数的部分依赖图

Fig. 9 The partial dependence plot between oxygen concentration and meteorological parameters in Lanzhou City (a)气温;(b)气压;(c)能见度;(d)相对湿度;(e)气温与气压二维部分依赖图;(f)气温与相对湿度二维部分依赖图; 气象数据均减去一天中的最低值以反映其相对变化对氧气浓度造成的影响

(a) Temperature; (b) Air pressure; (c) Visibility; (d) Relative humidity; (e) Two-variable partial dependence plot of temperature and air pressure; (f) Two-variable partial dependence plot of temperature and relative humidity. The lowest value of the day is subtracted from the meteorological data to reflect the influence of its relative change on the oxygen concentration

一气象要素的响应也会有所差异。图 9(b)显示气压与 O_2 呈正相关关系,在图 5 的结果中,大气压[图 5(b)]与 O_2 浓度[图 5(a)]的时间趋势图同样呈现显著的正相关关系,相关系数 R=0.41,而同时引入气温和气压后[图 9(e)],大气 O_2 对于二者变化的响应

会发生一些变化。即气压较低、气温较高的条件同时满足时,大气O,浓度也会有所升高。

从垂直方向上来说, 兰州市地处青藏高原、黄 土高原和内蒙古高原三大高原的交界处, 当地的天 气气候异常受周边青藏高原大地形、蒙古高压系统 以及西风带扰动等过程共同调制。大尺度环流异常亦可通过气团跨境传输等过程影响兰州市 O₂浓度。当气团源于植被丰富、人类活动影响较少的地区时,可造成 O₂浓度升高。此外,由于人为活动对大气 O₂的消耗主要集中在近地面层。在垂直方向上,边界层内的 O₂会明显偏低,这也会引起 O₂在垂直方向上分布不均,并产生垂直梯度。在一定条件下,中高层大气 O₂也会通过下沉气流输送到近地层。下沉气流通常发生在气压升高的情况,与图 9 (b)给出的关系一致。综上所述,大气 O₂的升高和降低是各因素的协同作用导致的。

城市植被通过光合作用在城市低空范围内调 节和改善城区碳氧平衡,是大气最主要的氧源[2]。 兰州市叶面积指数(Leaf Area Index, LAI)与大气 O,浓度的关系如图 10 所示。LAI 资料来自欧洲中 期天气预报中心(European Centre for Medium-Range Weather Forecasts, ECMWF)全球气候第五代 (ERA5)大气再分析数据集,选取ERA5再分析资料 中距离兰州最近的格点。图 10(a)显示,一年中, LAI与大气O、浓度的变化趋势较为一致。夏季植 被茂盛,O,产生较多,而冬季光合作用明显减弱,产 生的O,较少。由图10(b)可知,当LAI<2.0时,O,浓 度随LAI增加明显升高。而当LAI继续增加,O₂浓 度的增加变得不明显。这是因为城市植被的固碳 释氧效应相对有限,其产氧量远低于大气环流的含 氧量,因此,城市气象条件例如风速等将直接影响 城市上空空气质量的变化。

5 结论和展望

本研究从仪器观测和数据订正两个方面详细

介绍了兰州市高精度大气氧观测平台。当前大气 氧观测平台采用基于GC-TCD的O₂/N₂值测量系统。 大气采样器自动收集空气样品,并使用氦气作为载 气将空气样品注入装有5A分子筛填充柱的GC系 统中。通过TCD检测技术,将O,和N,有效地分离 出来。该观测系统可以实现大气O,的在线连续测 量。为了实现高精度的测量,大气采样器设定固定 的流量和压力,并重复测量样品和参考气体。由于 大气温度、湿度以及气压的变化会影响仪器内部 O, 和 N, 的分馏, 从而造成 O,/N, 值的观测误差, 为了解 决这一问题,进一步建立了适用于平台的大气氧观 测数据订正方法。大气氧观测平台自2020年7月 起正式运行,已积累了近2年的大气O,观测数据。 本研究分析了2020年7月至2021年12月期间的大 气氧观测数据,并从自然和人为因素双重角度分析 了影响城市大气O。变化的可能原因。结果表明,大 气O。呈现季节性和日变化特征。我们发现与站点 附近大气中的NO。浓度的对应分析发现,NO。的季 节变化与O₂呈明显的反相关,在日变化的时间尺度 上, 兰州市O, 浓度在一天中2次下降的时间也与 NO.浓度上升有较好的对应,进一步揭示了人为活 动对大气O。浓度变化的影响。此外,气象条件以及 城市植被均能影响城市内部的大气O。的变化。

本研究的结果证明了GC-TCD技术在城市地区测量大气O₂的可行性和准确性。通过合理选择观测站点、准确规范操作仪器和数据处理,就能够获得连续、高精度、有代表性的城市O₂观测结果。在城市区域开展大气O₂浓度观测,有助于进一步理解全球生物地球化学循环在人类活动背景下的响应。GC-TCD的大气O₂观测结果提供了对所有潜

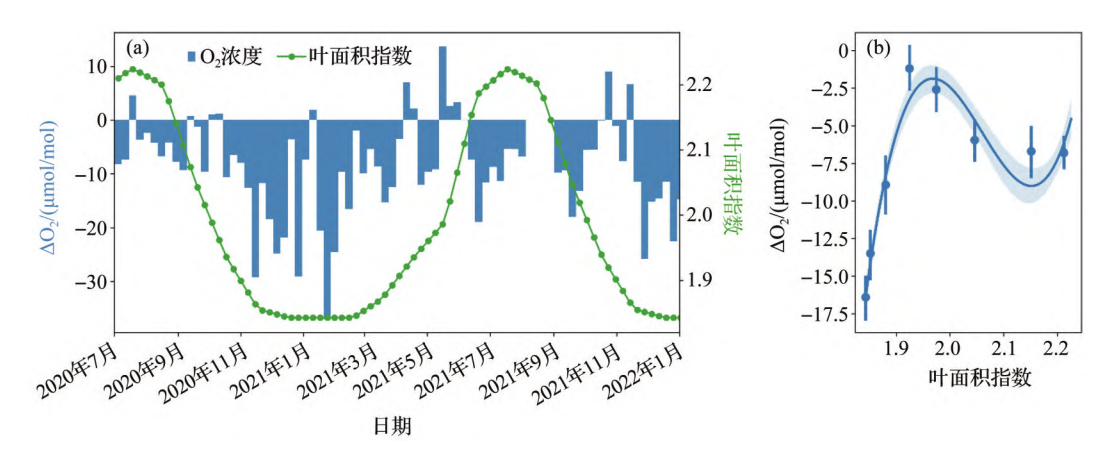


图 10 叶面积指数与兰州市氧气浓度的关系

Fig. 10 The relationship between LAI and O₂ in Lanzhou

(a)2020年7月至2021年12月7天平均 O_2 浓度与叶面积指数; $(b)O_2$ 浓度随叶面积指数的变化

(a) 7-day averaged O2 concentration (blue) and LAI (green) from July 2020 to December 2021; (b) Changes of O2 concentration with LAI

在的人为和自然大气O。源和汇的综合测量。由于 碳氧循环紧密相关,大气O2的长期观测可为有效制 定因地制宜的"双碳"现实路径提供科学依据。但 目前观测平台的大气O,测量点的覆盖度较低,暂时 无法获取城市大气O,的空间梯度,需要在城市的不 同功能区开展对比观测,以得出可靠的结果。因 此,在未来,平台将从以下几个方面进行完善:①设 立城郊对比观测站点,大气O。的季节和日变化特征 不仅在城市中存在,在郊区也有相应的特征变化, 城郊差异的对比测量将有助于更深入的理解人为 活动对大气O,变化的影响;②增加大气中CO,的观 测,O,和CO,之间存在着紧密的负相关关系,通常氧 化比(-O,:CO,)是化石燃料类型的判断指标,CO,和 O,的协同观测可用于进一步判断区域排放的燃料 类型的构成以及源清单的校对;③有效提高大气O。 的测量精度和准确度,开发更经济实用的仪器,以 便在不同下垫面类型区域开展O,观测;④细化质量 控制,统一标准、规范操作,加强评估观测过程的质 量控制和数据质量,使平台的观测工作真正达到业 务化运行的要求;⑤提高大气O,观测的分析结果可 靠性,还需国内外其他典型地区相关资料的配合, 通过加强不同实验室之间的数据对照和共享,实现 对城市大气O。的时空分布特征以及源汇关系的 探究。

虽然大气 O,浓度的变化在 μmol/mol 量级,但其 参与到人类活动、植被和海洋等地球系统圈层中的 关键过程中,提供了关于碳循环和生物地球化学的 关键信息。驱动O,变化的主要过程是有机碳反应 的产生和破坏,如光合作用、呼吸作用和化石燃料 燃烧^[42]。这些反应在消耗CO,的同时产生O,,反之 亦然,产生相反的O,和CO,变化。因此,大气中O, 的测量可以为生物地球化学过程提供一个独特的 窗口,这是通过测量CO,及其同位素无法获得的。 总而言之,在大气科学中,几乎没有一个课题比研 究大气中的O,分子分数的变化更为基础,但目前对 大气O,的变化及其影响机制的理解甚少。在未来, 大气中O,的测量可能成为气象数据和空气质量网 络的一部分,将对全球碳氧循环及其人类活动扰动 的相关研究产生重大影响,有助于研究人员更好地 理解大气环境,推断大气环境演变,为维持人类健 康平衡和保障生态系统的稳定提供重要信息。

参考文献(References):

[1] HUANG Jianping, LIU Xiaoyue, HE Yongsheng, et al. The oxygen cycle and a habitable Earth [J]. Science China: Earth

- Sciences, 2021, 51 (4): 487-506. [黄建平, 刘晓岳, 何永胜, 等. 氧循环与宜居地球[J]. 中国科学: 地球科学, 2021, 51(4): 487-506.]
- [2] DING Lei, HUANG Jianping, WANG Li, et al. Advances in researches of terrestrial oxygen cycle processes [J]. Advances in Earth Science, 2022, 37(2):135-148. [丁磊, 黄建平, 王莉, 等. 陆地氧循环过程研究进展[J]. 地球科学进展, 2022, 37 (2):135-148.]
- [3] PENG J, WANG A, LIU Y X, et al. Assessing the atmospheric oxygen balance in a region of rapid urbanization: a case study in the Pearl River Delta, China [J]. Sustainability, 2015, 7 (10): 13 055-13 072.
- [4] LU H L, LIU G F. Opportunity costs of carbon emissions stemming from changes in land use[J]. *Sustainability*, 2015, 7(4): 3 665-3 682.
- [5] YANG X B, CHEN Z L, CAI H, et al. A framework for assessment of the influence of China's urban underground space developments on the urban microclimate [J]. Sustainability, 2014, 6(12): 8 536-8 566.
- [6] ISHIDOYA S, SUGAWARA H, TERAO Y, et al. O₂: CO₂ exchange ratio for net turbulent flux observed in an urban area of Tokyo, Japan, and its application to an evaluation of anthropogenic CO₂ emissions [J]. Atmospheric Chemistry and Physics, 2020, 20(9): 5 293-5 308.
- [7] LIUYP, YUDY, XUNB, et al. The potential effects of climate change on the distribution and productivity of Cunning-hamia lanceolata in China[J]. Environmental Monitoring and Assessment, 2014, 186(1): 135-149.
- [8] TIAN Jing. Effects of atmospheric CO₂ concentration on vegetation transpiration over China [J]. Advances in Earth Science, 2021, 36(8): 826-835. [田静. 大气 CO₂浓度增加对中国区域植被蒸腾的影响[J]. 地球科学进展, 2021, 36(8): 826-835.]
- [9] WEI Y, WU J G, HUANG J P, et al. Declining oxygen level as an emerging concern to global cities [J]. Environmental Science & Technology, 2021, 55(12): 7 808-7 817.
- [10] HUANG J P, HUANG J P, LIU X Y, et al. The global oxygen budget and its future projection [J]. Science Bulletin, 2018, 63 (18): 1 180-1 186.
- [11] RADKEVICH M, SHIPILOVA K, POCHUZHEVSKYI O, et al. Assessment of oxygen concentration reduction near the highway-importance for health and quality of life[J]. International Journal for Quality Research, 2022, 16(3): 863-876.
- [12] KEELING R F, MANNING A C. Studies of recent changes in atmospheric O₂ content [J]. *Treatise on Geochemistry*, 2014, 5: 385-404.
- [13] MANNING A C, KEELING R F, SEVERINGHAUS J P. Precise atmospheric oxygen measurements with a paramagnetic oxygen analyzer [J]. *Global Biogeochemical Cycles*, 1999, 13 (4): 1 107-1 115.
- [14] STEPHENS B B, BAKWIN P S, TANS P P, et al. Application of a differential fuel-cell analyzer for measuring atmospheric oxygen variations [J]. Journal of Atmospheric and Oceanic

- Technology, 2007, 24(1): 82-94.
- [15] BENDER M L, SOWERS T, BARNOLA J M, et al. Changes in the O₂/N₂ ratio of the atmosphere during recent decades reflected in the composition of air in the firn at Vostok Station, Antarctica [J]. Geophysical Research Letters, 1994, 21 (3): 189-192.
- [16] TOHJIMA Y, MUKAI H, MACHIDA T, et al. Gas-chromatographic measurements of the atmospheric oxygen/nitrogen ratio at Hateruma Island and Cape Ochi-ishi, Japan[J]. Geophysical Research Letters, 2003, 30(12). DOI:10.1029/2003GL017282.
- [17] STEINBACH J. Enhancing the usability of atmospheric oxygen measurements through emission source characterization and airborne measurements[D]. Postanschrift: Friedrich-Schiller-Universität Jena, 2010.
- [18] POPA M E, GLOOR M, MANNING A C, et al. Measurements of greenhouse gases and related tracers at Bialystok tall tower station in Poland [J]. Atmospheric Measurement Techniques, 2010, 3(2): 407-427.
- [19] THOMPSON R L, MANNING A C, GLOOR E, et al. In-situ measurements of oxygen, carbon monoxide and greenhouse gases from Ochsenkopf tall tower in Germany [J]. Atmospheric Measurement Techniques, 2009, 2(2): 573-591.
- [20] van der LAAN-LUIJKX I T, NEUBERT R E M, van der LAAN S, et al. Continuous measurements of atmospheric oxygen and carbon dioxide on a North Sea gas platform[J]. Atmospheric Measurement Techniques, 2010, 3(1): 113-125.
- [21] FAN S, GLOOR M, MAHLMAN J, *et al.* A large terrestrial carbon sink in North America implied by atmospheric and oceanic carbon dioxide data and models [J]. *Science*, 1998, 282 (5 388): 442-446.
- [22] GLOOR M, FAN S M, PACALA S, *et al.* Optimal sampling of the atmosphere for purpose of inverse modeling: a model study [J]. *Global Biogeochemical Cycles*, 2000, 14 (1): 407-428.
- [23] LIU X Y, HUANG J P, WANG L, et al. "Urban respiration" revealed by atmospheric O₂ measurements in an industrial metropolis [J]. Environmental Science & Technology, 2023, 57 (6): 2 286-2 296.
- [24] GINZBURG A S, VINOGRADOVA A A, FEDOROVA E I, *et al.* Content of oxygen in the atmosphere over large cities and respiratory problems [J]. *Izvestiya*, *Atmospheric and Oceanic Physics*, 2014, 50(8): 782-792.
- [25] KEELING R F. Measuring correlations between atmospheric oxygen and carbon dioxide mole fractions: a preliminary study in urban air [J]. *Journal of Atmospheric Chemistry*, 1988, 7 (2): 153-176.
- [26] LIU Xiaoyue, YU Haipeng, SHENG Xia, *et al.* Mechanism analysis of a rare "thunder snow" process in semi-arid area [J]. *Meteorological Monthly*, 2020, 46(12): 1 596-1 607. [刘晓岳,于海鹏,盛夏,等.半干旱区一次罕见"雷打雪"天气形成机制分析[J]. 气象, 2020, 46(12): 1 596-1 607.]
- [27] HAN D L, HUANG J P, DING L, et al. Oxygen footprint: an indicator of the anthropogenic ecosystem changes [J]. CATE-

- NA, 2021, 206. DOI: 10.1016/j.catena.2021.105501.
- [28] ZHAO L, OPPENHEIMER M, ZHU Q, et al. Interactions between urban heat islands and heat waves[J]. Environmental Research Letters, 2018, 13(3). DOI:10.1088/1748-9326/aa9f73.
- [29] ZONG L, LIU S H, YANG Y J, et al. Synergistic influence of local climate zones and wind speeds on the urban heat island and heat waves in the megacity of Beijing, China[J]. Frontiers in Earth Science, 2021, 9. DOI:10.3389/feart.2021.673786.
- [30] HUANG J, LIY, FUC, et al. Dryland climate change: recent progress and challenges [J]. Reviews of Geophysics, 2017, 55 (3): 719-778.
- [31] KEELING R F, SHERTZ S R. Seasonal and interannual variations in atmospheric oxygen and implications for the global carbon cycle [J]. *Nature*, 1992, 358(6389): 723-727.
- [32] BERHANU TA, HOFFNAGLE J, RELLA C, et al. High-precision atmospheric oxygen measurement comparisons between a newly built CRDS analyzer and existing measurement techniques [J]. Atmospheric Measurement Techniques, 2019, 12 (12): 6803-6826.
- [33] KEELING R F, MANNING A C, McEVOY E M, et al. Methods for measuring changes in atmospheric O₂ concentration and their application in southern hemisphere air[J]. *Journal of Geophysical Research: Atmospheres*, 1998, 103(D3): 3 381-3 397.
- [34] JIANG X, LI Q B, LIANG M C, et al. Simulation of upper tropospheric CO₂ from chemistry and transport models [J]. Global Biogeochemical Cycles, 2008, 22 (4). DOI: 10.1029/ 2007GB003049.
- [35] BROHAN P, KENNEDY J J, HARRIS I, et al. Uncertainty estimates in regional and global observed temperature changes: a new data set from 1850[J]. Journal of Geophysical Research: Atmospheres, 2006, 111(D12). DOI:10.1029/2005JD006548.
- [36] FOLLAND C K, RAYNER N A, BROWN S J, et al. Global temperature change and its uncertainties since 1861 [J]. Geophysical Research Letters, 2001, 28(13): 2 621-2 624.
- [37] LI Qingxiang, DONG Wenjie, LI Wei, et al. Uncertainty estimation in temperature changes in China over the past century [J]. Scientific Bulletin, 2010, 55 (16): 1 544-1 554. [李庆祥,董文杰,李伟,等.近百年中国气温变化中的不确定性估计[J]. 科学通报, 2010, 55 (16): 1 544-1 554.]
- [38] ZHANG Kai. Grid emission inventory and its spatial distribution characteristics of major air pollutants in Lanzhou, Western China[D]. Lanzhou: Lanzhou University, 2017. [张凯. 中国西部兰州地区主要大气污染物网格化排放清单及其空间分布特征[D]. 兰州: 兰州大学, 2017.]
- [39] SHAW S, van HEYST B. Nitrogen Oxide (NO_x) emissions as an indicator for sustainability [J]. *Environmental and Sustainability Indicators*, 2022, 15. DOI;10.1016/j.indic.2022.100188.
- [40] LIU F, BEIRLE S, ZHANG Q, et al. NO_x lifetimes and emissions of cities and power plants in polluted background estimated by satellite observations [J]. Atmospheric Chemistry and Physics, 2016, 16(8): 5 283-5 298.
- [41] CHENG Linjun. Study on ozone pollution characteristics and zoning management methods in China [D]. Beijing: China

University of Geosciences, 2018. [程麟钧. 我国臭氧污染特征及分区管理方法研究[D]. 北京: 中国地质大学(北京), 2018.]

[42] KEELING R F, GRAVEN H D. Insights from time series of atmospheric carbon dioxide and related tracers [J]. Annual Review of Environment and Resources, 2021, 46: 85-110.

High-precision Observation of Atmospheric Oxygen in a Typical Industrial City of Lanzhou*

WANG Li¹, LIU Xiaoyue², HUANG Jianping^{1,2*}

- Collaborative Innovation Center for Western Ecological Safety, Lanzhou University, Lanzhou 730000, China;
 Key Laboratory for Semi-Arid Climate Change of the Ministry of Education, College of Atmospheric and Sciences, Lanzhou University, Lanzhou 730000, China)
- Abstract: Human activities have changed the air oxygen content in urban areas and threatened the regional atmospheric oxygen balance. However, studies on urban atmospheric oxygen (O_2) remain limited, and a systematic assessment of the mechanisms that drive urban O_2 variability is not yet possible. Therefore, the long-term observation of atmospheric O_2 in urban areas is of utmost importance. This study provides an in-depth overview of the Lanzhou online atmospheric oxygen observation platform, which is the first in situ, high-precision, continuous atmospheric O_2 observation platform in China. The platform uses a gas chromatography-thermal conductivity detector (GC-TCD) method to measure the atmospheric O_2 content and establishes an XGBoost-based correction model for atmospheric O_2 observation data. After correction, the observation system error of atmospheric O_2 has significantly reduced to $-0.68 \, \mu \text{mol/mol}$. The observation results showed that atmospheric O_2 has clear seasonal and daily variation characteristics and good correspondence with urban human activity indicators (NOx). Based on the capabilities of the atmospheric oxygen observation platform demonstrated in this study, the platform can detect microvariations in atmospheric O_2 against a high background, providing crucial data to support research into urban atmospheric O_2 levels. Due to the close relationship between carbon and oxygen cycles, the long-term observation of atmospheric O_2 can be a scientific basis for establishing regionally appropriate "double carbon" practical paths.

Key words: Atmospheric oxygen observation; Lanzhou City; Gas chromatography; XGBoost-based correction model; Variation characteristics.

^{*} Foundation item: Project supported by the National Natural Science Foundation of China "Climate change in arid and semi-arid regions and its effects on hydrologic cycle" (Grant No. 41991231); Youth Science and Technology Fund Project of Gansu Province of China "Temporal and spatial distribution characteristics of atmospheric particulates and ozone in Lanzhou and the causes and simulation analysis of heavy pollution period" (Grant No. 21JR7RA528).

First author: WANG Li (1989-), female, Baiyin City, Gansu Province, Laboratory technician. Research area includes atmospheric oxygen observation. E-mail: w | @|zu.edu.cn

^{*} Corresponding author: HUANG Jianping (1962-), male, Zhangping City, Fujian Province, Professor, Academician of the Chinese Academy of Sciences. Research areas include climate change in semi-arid regions. E-mail: hjp@lzu.edu.cn